

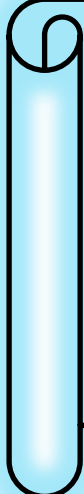
كلية العلوم

القسم : المهنرياء

السنة : الرابعة



٩



المادة : حالة صلبة ٢

المحاضرة : الخمسة/نظري /

{{{ A to Z مكتبة }}}
مكتبة A to Z

Maktabat A to Z

كلية العلوم ، كلية الصيدلة ، الهندسة التقنية



يمكنكم طلب المحاضرات برسالة نصية (SMS) أو عبر (What's app-Telegram) على الرقم 0931497960

6-6 العصابات الطاقية في الأجسام الصلبة الحقيقة Energy Bands in Real solids

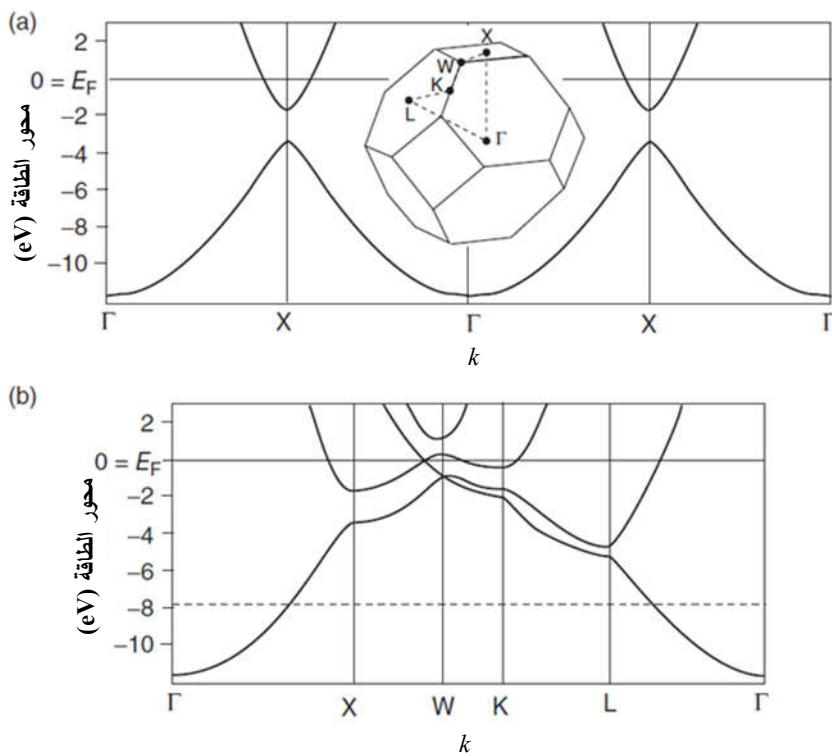
أصبح بمقدورنا الآن فهم بنية العصابات الطاقية الإلكترونية في المواد الصلبة الحقيقة وبالأبعاد الثلاثة، وصفياً على الأقل. لقد عرضنا في نماذج البعد - الواحد التي قمنا بدراستها طريقتين مختلفتين لإدخال الكمون الدوري بدورية الشبكة البلورية. في البداية، انطلقنا من **الإلكترونات الحرة** وأدخلنا الكمون كاضطراب ضعيف، مؤكدين أن وجهة النظر هذه مناسبة، على وجه الخصوص، من أجل الإلكترونات شبه - الحرفة في الفلزات. ثم حصلنا على بنية عصابة طاقة مشابهة جداً من خلال بناء توابع بلوخ الموجية من مدارات ذرية متوضعة (**نموذج الرابط المحكم**)، وهي طريقة تبين أنها أكثر من طبيعية من أجل الأجسام الصلبة المترابطة تساهمياً والتي تكون فيها الحالات الطاقية أكثر تموضاً، ولكن يجب أن نذكر دوماً أن كلتا الطريقتين مجرد نماذجين مبسطين جداً يسمحان لنا بفهم أصل بنية **عصابات الطاقة Band Structure**, وبشكلهما المحسن والدقيق، يجب أن يوافقا التوقعات ذاتها بالنسبة لبنية عصابات الطاقة في نهاية المطاف.

لقد رأينا في كلا **الوصفين** أن للكمون الدوري بدورية الشبكة البلورية تأثيران رئيسان؛

- **يكون التأثير الأول** في التناظر الحاصل في عصابات الطاقة (41-6)، الذي يسمح بجعل دراستنا للتبدد تقتصر على منطقة بريلوان الأولى **فقط** بفضل **تطابقه** حول النقاط الأخرى في الشبكة المقلوبة. كما أن هذا التناظر **يسبب انعكاساً** لعصابات الطاقة عند حدود منطقة بريلوان.
 - **والتأثير الثاني يمكن** في **اتساعات** الفجوات الطاقية بين العصابات المنطبقة في نموذج الإلكترون الحر. يوضح الشكل (12-6) عصابات الطاقة للألمينيوم الذي يُعد فلزاً بسيطاً بالإلكترونات **s** والإلكترونات **p** فقط. إذ تبقى الحالة هنا مشابهة جداً لحالة الإلكترون الحر:
- لندرس في البداية التبدد **في اتجاه واحد فقط**، كما في الشكل (12a-6)، حيث يظهر التبدد **من النقطة Γ (مركز منطقة بريلوان الأولى) إلى النقطة X** عند حد منطقة بريلوان ويدخل إلى المنطقة اللاحقة (الثانية)، بالغاً النقطة **Γ** مرة أخرى، وهكذا دواليك.

- ✓ هناك فجوة طاقة تفتح عند النقطة **X**
 - ✓ فوق الفجوة ثمة **عصابة طاقة أخرى تتبدد - عكسياً** في اتجاه النقطة **Γ**.
 - ✓ يمكن بسهولة الإقرار بأن هذه **العصابة** هي بمثابة عصابة نشأت من مركز منطقة بريلوان **التالية**، كما في النموذج أحادي - البعـد، في الشكل (9-6).
 - ✓ يمكن الفارق بين الشكلين بالتدريج الطaci فقط؛ فقد اخترنا الطاقة الصفرية في النموذج أحادي - البعـد لتكون قاعاً للعصابة الطاقية. ويبدو أن هذا الاختيار يُعد طبيعياً، لأنه يوافق الطاقة الحركية الصفرية للإلكترونات. ولكن لنا كامل الحرية في اختيار مبدأ تدرج الطاقة: في الفلزات، وفي معظم الأحيان يجري اختيار طاقة فرمي؛ كمبدأ لحساب الطاقة، $E=0$ ، وهذا الخيار تم اعتماده في الشكل (12-12).
- يمكن تعريف بنية عصابات الطاقة للأجسام الصلبة تجريبياً باستخدام مطيافية الإصدار - الفوتوني بمقدمة

فاصلة زاوية (ARPS) : Angle-Resolved Photoemission Spectroscopy



الشكل (12-6): (a) عصابات الطاقة الإلكترونية في الألミニوم على طول الاتجاه X- Γ فقط. يظهر الشكل المدرج في الرسم منطقة بريلوان الأولى؛ Al: $1s^2 2s^2 2p^6 3s^1 3p^1$ (b) عصابات الطاقة في الاتجاهات المختلفة وفي المسار المتقطع بين النقاط العالية التناظر لمنطقة بريلوان. يمثل المستقيم الأفقي المتقطع طاقة فيرمي الصورية من أجل الألミニوم بذات البنية ولكن بالكترون واحد فقط وليس ثلاثة.

تتعرض العينة في هذه التجربة لفوتوتونات **أحادية اللون - فوق بنفسجية**، فتصدر إلكترونات وفقاً للمفعول **الكهربائي Photoelectric Effect**. **تصنف** إلكترونات الصادرة تبعاً لمتجهاتها الموجية- \vec{k} وطاقتها، ومن هنا، يمكن العودة للتعامل مع \vec{k} والطاقة داخل العينة، أي العودة إلى بنية عصابات الطاقة. يُظهر الشكل (12b-6) العصابات الطاقية للألミニوم Al في **اتجاهات تناظر - عالية مختلطة** في منطقة بريلوان الأولى؛ لا تُعرض عادةً الاستمرارية في مناطق بريلوان اللاحقة، كما في (12a-6)، تقادياً للحسو. **يمكنا إدراك الانحناء العكسي** لعصابات الطاقة من المناطق المجاورة واتساع الفجوات الطاقية عند حدود مناطق بريلوان. في الواقع، يمكن وصف بنية عصابات الطاقة للألミニوم في نموذج إلكترونات شبه- الحرية بشكل جيد جداً، إلا أنّها تبدو معقدةً بسبب العصابات التي تظهر من المناطق المجاورة في الأبعاد الثلاثة:

- **العصابات ممتلة حتى طاقة فيرمي ،**
- ويوجد الكثير من عصابات الطاقة التي **تقاطع** مع طاقة فيرمي، مما يعني أن إلكترونات في الحالات المشغولة والواقعة تحت طاقة فيرمي تماماً بمقدورها التهيج إلى حالات ضمن العصابة نفسها، وتقع فوق طاقة فيرمي تماماً. وبهذه الطريقة، تستطيع هذه الإلكترونات **المشاركة في نقل** التيارين الكهربائي والحراري.

○ عندما يمتلك الألمنيوم ثلاثة إلكترونات في كل وحدة خلية، فإن هذه الإلكترونات تملأ عصابات الطاقة، مما يؤدي إلى فصل طاقة فيرمي عن قاع عصابات الطاقة بنحو 12 eV ؛

○ والآن، ماذا سيحدث إذا حرّت كل وحدة خلية **إلكترون واحد فقط؟** الجواب، تُصبح طاقة فيرمي في موقع أخفض بكثير من الموقع السابق، عند الخط المقطعي تقريباً في الشكل (12b-6). وفي هذه الحالة، يُصبح الوضع مشابهاً أكثر للوضع في نموذج الإلكترون - الحر : إذ تقطع عصابات الطاقة فيرمي عند نفس المسافة- k عن النقطة Γ في الاتجاهات كافة، ومن ثم ستكون الحالات الإلكترونية عند طاقة فيرمي كرّة في الفراغ- k . وهذا ما يحصل تماماً في حالة نموذج الإلكترونات - الحر.

نستطيع العودة الآن إلى السؤال الأولي الذي طُرِح في مستهل هذا الفصل: ما الشيء الذي يصف الفلز ولا يصف نصف الناقل؟ يمكننا تعريف الفلز، استناداً إلى ما ذكر أعلاه، كجسم صلب **تقاطع عصابات الطاقة** فيه مع طاقة فيرمي، بحيث يمكن لطاقة الإلكترونات أن تزداد في هذه العصابات بمقدار صغير جداً **وتصبح إلكترونات ناقلة**. هل يوافق هذا التعريف بنية عصابات الطاقة لأنصاف النواقل والعوازل النموذجية؟.

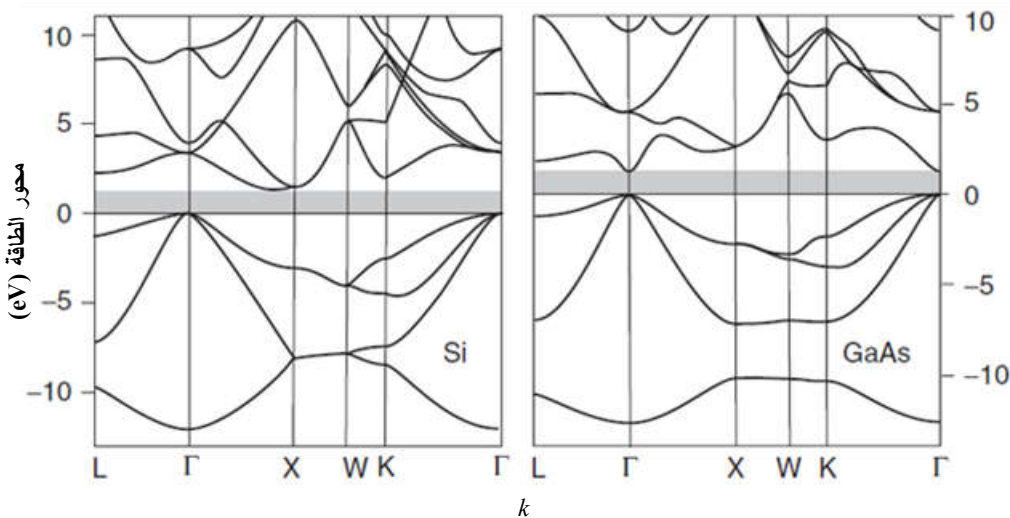
لمعرفة الجواب، نناقش بنية عصابات الطاقة لبلوريتي السيلكون Si وزرنيخيد الغاليوم GaAs في الشكل (13-6): كلتا البنيتين تمتلكان ذات الشكل لمنطقة بريلوان، كما في Al حيث تبدو عصابات الطاقة لمثل هذه المواد أكثر تعقيداً من تلك من أجل إلكترونات شبه-الحرّة أو الألمنيوم، ولكن ما زلنا ندرك ونُميّز بعض السمات المميزة.

→ فمن أجل الطاقات المنخفضة جداً **تبقي** عصابات الطاقة **تأخذ شكلاً مشابهاً** للقطوع المكافئة؛

→ **كما يمكن توصيف اتساعات الفجوات الطاقية** عند حدود مناطق بريلوان **والعصابات ذات الانحناء العكسي**.

→ غير أن **البنية الإلكترونية لكلا المادتين**، تختلف عن البنية الإلكترونية لـ Al **بنقطتين مهمتين**:

✓ تكمن الأولى في وجود **فجوة طاقة مطلقة**، تميّزها الساحة الرمادية في الشكل. تعني كلمة **مطلقة**



الشكل (13-6): (a) عصابات الطاقة الإلكترونية من أجل Si و GaAs. تمتلك هاتان المادتين نفس منطقة بريلوان التي يمتلكها Al (راجع الشكل 6-12). عصابات الطاقة أسفل الشريط الرمادي ممتلئة تماماً والعصابات الواقعة فوقه فارغة تماماً في درجة الصفر المطلق. تمثّل المنطقة الرمادية فجوة طاقة مطلقة في البنية الإلكترونية.

“*Absolute*” أن الفجوة ليست مجرد فاصل طاقة يظهر عند حد منطقه بريلوان وحسب، بل فجوة طاقة (**المنطقة المحظورة**) تظهر في كامل منطقة بريلوان. إذ لا توجد حالات طاقية في المناطق الرمادية أيًّا يكن المتوجه الموجي، \bar{k} .

والاختلاف المميز الثاني عن للألمنيوم Al يظهر عند ملء الحالات بالإلكترونات المتاحة: فعند انشغال الحالات وفقاً لمبدأ باولي، تمتلئ العصابات الواقعه تحت المنطقة المحظورة الرمادية بشكلٍ كاملٍ، **ولا يتبقى إلكترونات** من أجل العصابات الواقعه فوق المنطقة المحظورة.

ويبقى موقع طاقة فيرمي أو بدقة أكثر للكمون الكيميائي، مثار بحثٍ؛ وفي كل الأحوال، يمكننا الآن القول إن ذلك سيكون في مكان ما داخل المنطقة المحظورة.

يمكن وضع صفر تدرج الطاقة بطريقه اختياريه، ومن أجل أنصاف النواقل يوضع عادةً عند سقف الحالات المشغولة بالإلكترونات.

يمكننا أن نؤكّد وبثقة أن **هذه المواد لا تُعد فلزات** في سياق التعريف المذكور أعلاه: فهناك لا توجد عصابات طاقة **تقطع** طاقة فيرمي ولا توجد إلكترونات يمكن لطاقتها أن تزداد بكمية ليست كبيرة لكي تشارك في الناقليه الكهربائيه.

في الواقع، إذا وجب أن تزداد طاقة إلكترون، فيجب أن تزداد، على الأقل، بكمية توافق عرض فجوة الطاقة.

ثمة تصور أكثر بساطة لفارق بين الفلزات والعوازل/ أنصاف النواقل، يبرز عند النظر في كثافة حالاتها

كما في الشكل (14a-6)؛ أي الفارق بينها من وجهه نظر (E) :

- فمن أجل **الإلكترونات الحرّة** قمنا بحساب كثافة الحالات وجدنا أنها تتناسب طردياً مع الجذر التربيعي لطاقتها، \sqrt{E} ، كما يوضح الشكل (14a-6)؛

- أمّا من أجل نموذج **الإلكترونات شبه- الحرّة** أو نموذج **الربط المُحكم** للإلكترونات (شديدة الارتباط)، فيجب أن تكون كثافة الحالات أكثر تعقيداً مما هي عليه في الشكل (14a-6). إذ **تبرز فجوات طاقة** في بنية عصابات الطاقة عند حدود منطقة بريلوان، يمكن أن تؤدي (ولكن ليس بالضرورة) إلى فجوات مطلقة في عصابات الطاقة في الحالة المثالية الخالية من العيوب.

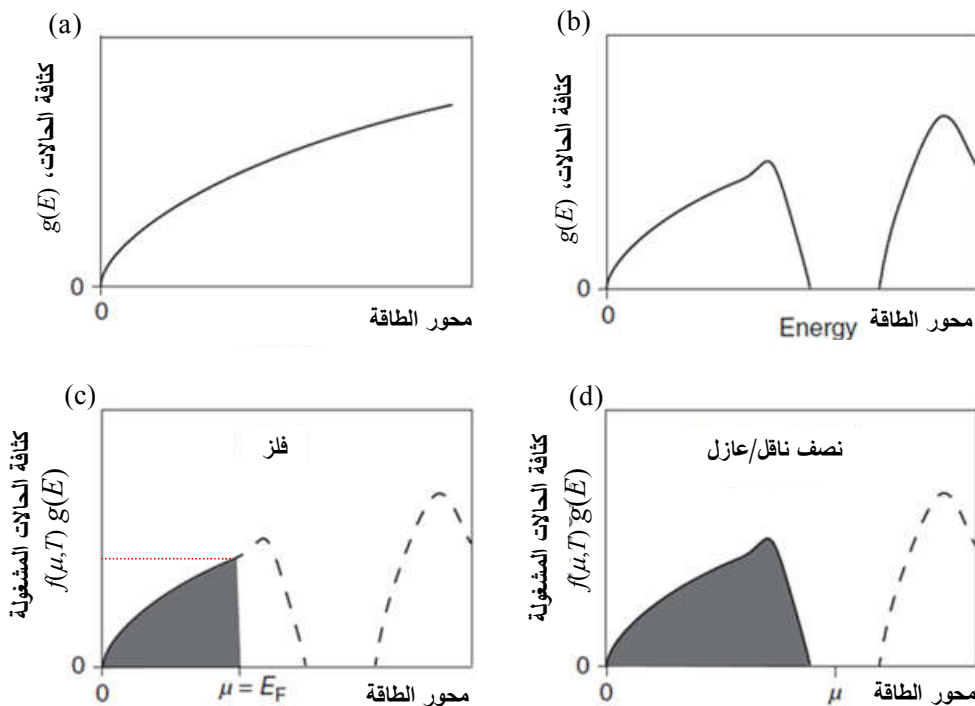
- والشكل (14b-6) يوضح كثافة حالات أكثر تعقيداً من سابقاتها بفجوة طاقة مطلقة.

والآن إن الفارق بين **فلز** ونصف الناقل/**عازل** يتعلق بكمية **الإلكترونات الموجودة لدينا** **لتملا** هذه الحالات.

إذا وقعت السوية الطاقية الأعلى التي تملؤها بالإلكترونات عند كثافة حالات محدودة القيمة، فإن الجسم الصلب **يُعد فلزاً**، كما في الشكل (14c-6)؛

إذا تمكنا فقط من **ملء** الحالات حتى الفجوة الطاقية، فالجسم الصلب كان **عازاً/نصف ناقلاً**، كما يوضح الشكل (14d-6).

لنلاحظ أنه إلى الآن لم نتمكن من تحديد الفارق بين نصف الناقل والعازل؛ وهذا ما سندرسه لاحقاً.

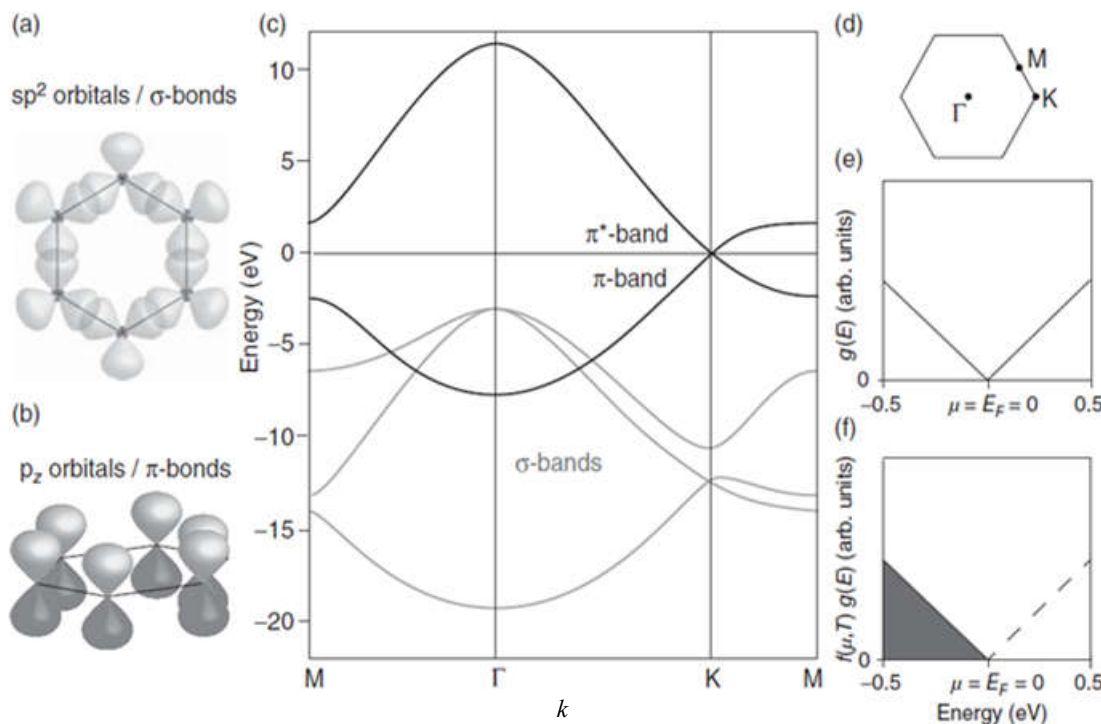


الشكل (6-14): يوضح الاختلافات بين الفلزات وأنصاف النواقل/عوازل. (a) كثافة الحالات في نموذج الإلكترون الحر؛ (b) كثافة حالات كافية في نموذج الإلكترون شبـهـ الحـرـ حيث تظهر فجوة طاقة مطـفـةـ. (c) كثافة حالات مشغولة (الساحةـ الـرمـاديـةـ) من أجل فـلـزـ في درـجـةـ الصـفـرـ المـطـلـقـ: يـوـافـقـ الـكـمـوـنـ الـكـيـمـيـاـيـيـ (أـوـ طـاقـةـ فـيـرـمـيـ) كـثـافـةـ حـالـاتـ مـحـدـودـةـ. (d) ذاتـ المشـهـدـ فيـ (c) منـ أجلـ نـصـفـ نـاقـلـ/عـازـلـ حيث يـقـعـ الـكـمـوـنـ الـكـيـمـيـاـيـيـ فيـ منـطـقـةـ تـلاـشـيـ كـثـافـةـ حـالـاتـ.

هل بقدورنا التنبؤ فيما إذا كانت المادة فلزاً، أم نصف ناقل، أم عازلاً انتلاقاً من معرفتنا ببنيتها البلورية Crystalline Structure؟. يجب أن تكون المادة وفقاً للتصور الذي درسناه هنا فلزاً إذا امتلأت عصابة الطاقة بالإلكترونات جزئياً فقط؛ والآن ما هي كمية الفضابات الطاقية التي بقدورنا ملؤها من أجل عدد معطى لإلكترونات التكافؤ في كل وحدة خلية؟. يبدو أنه يمكننا أن نضع في عصابة الطاقة الواحدة الإلكترونين في كل وحدة خلية؛ إلكtron واحد من أجل كل اتجاه دوران (اتجاه سبين). نلاحظ، أن هذه النتيجة تتفق تماماً مع التصور البسيط جداً للترابط الذي درسناه من أجل عنقود Cluster من ذرات الـ Na في الفقرة 6-6: يوجد الكثير من الحالات في العصابة الطاقية بقدر ما يوجد في وحدات الخلايا (أو الذرات في العنكود) وكل حالة يمكن أن تتسع لإلكترونين؛ ومن ثم نتوقع أن يكون لدينا مادة بعده فردي من الإلكترونات في كل وحدة خلية (مثل Na) لكي تكون فلزاً. هناك مثال آخر هو Al الذي يتبلور وفق البنية المكعبة متراكزة الوجوه FCC:

- تمتلك البنية هنا ذرة واحدة في كل وحدة خلية والـ Al يمتلك ثلث إلكترونات تكافؤ في كل ذرة،
- ومن ثم يوجد ثلث إلكترونات تكافؤ في كل وحدة خلية؛ بقدور إلكترونـانـ مـنـهـماـ مـلـءـ عـصـابـةـ وـاحـدةـ بشـكـلـ كـامـلـ،ـ وإـلـكـتروـنـ الـمـتـبـقـيـ يـمـلـأـ عـصـابـةـ طـاقـةـ أـخـرىـ حتـىـ منـتـصـفـهاـ.
- وهـكـذاـ نـتـوـعـ أنـ يـكـونـ الـ Alـ فـلـزاـ،ـ وـبـالـطـبعـ هـذـاـ صـحـيـحـ وـيـتـقـعـ مـعـ الشـكـلـ (6-12)ـ أـيـضاـ.

- يُظهر الشكل (6-12) أيضاً موضع طاقة فيرمي من أجل الحالة الصورية للألمينيوم Al المشغولة بالكترون تكافؤ واحد فقط، وتبعاً للخلاصة ذاتها المذكورة أعلاه، يجب أن يكون هذا النوع من الألمنيوم فلزاً أيضاً.
 - ولكن، لا بد من الإشارة إلى أن العكس ليس صحيحاً: فالعدد الزوجي من إلكترونات التكافؤ في كل وحدة خلية لا يستوجب أن تكون المادة نصف ناقلة/عازلة. وسبب ذلك، يمكن في إمكانية توزع الإلكترونات في عصباطات مختلفة في البنية العصبية - **ثلاثية البعد**.
 - فمثلاً يمكن لـإلكترونين في كل وحدة خلية أن يقعوا إما في عصابة واحدة ممتلئة تماماً، مما يؤدي إلى الحصول على نصف ناقل/ عازل،
→ وإنما في عصباطتين مختلفتين، متراكبتين طائياً؛ ومن شأن الحالة الأخيرة أن تؤدي إلى عصباطتين ممتلئتين جزئياً، ومن ثم الحصول على فلز، بصرف النظر عن العدد الزوجي للإلكترونات.
 - يمكننا استخدام حالة الغرافين Graphene لتوسيع هذه الأفكار لاحقاً، وسنتعرف أيضاً أن **الغرافين** يمتلك بعض الخصائص الإلكترونية الخاصة جداً، واضحة **إيات** حداً فاصلاً ما بين الفلز والغاز.
- فالشكل (15-6) يوضح البنية الترابطية والإلكترونية للغرافين:**
- يمتلك الكربون أربعة إلكترونات تكافؤ (اثنان $2s$ واثنان $2p$)، ويمكن بلوغ الترابط في بنية "قرص العسل" Honeycomb للغرافين (راجع **الشكل (7a-1)**) بصورة رئيسية بعملية تهجين² $sp_{x,y}$ بين الحالات s و $p_{x,y}$ لتشكيل روابط σ (سيجما) قوية، والمدارات p المتبقية، تخرج من المستوى وتشكل روابط π .
 - يوضح الشكلان (15a-6) و (15b-6) الروابط σ و π على الترتيب، فضلاً عن أن الشكل (15c-6) يوضح العصباطات الطاقة الموافقة لها.
- لنرى فيما إذا كانت بنية عصباطات الطاقة هذه متوافقة مع مبادئ العد الإلكتروني المذكورة أعلاه:
- **كل ذرة كربون** تُشتم في الرابط σ بـ**ثلاث إلكترونات** وفي الرابطة π بإلكترون واحد.
 - يمتلك الغرافين ذرتين في كل وحدة خلية، أي يمتلك ما مجموعه **ستة إلكترونات σ وإلكتروني π** .
 - بمقدور الإلكترونات σ **الستة** أن تملأ **ثلاث** عصباطات بشكل كامل (إلكترونان في كل عصابة) **والإلكترونان π عصابة واحدة**؛ يمكن رؤية ذلك في بنية عصباطات الطاقة أيضاً.
 - وبالنتيجة لدينا أربع عصباطات مشغولة تماماً، ومن ثم يمكن للغرافين أن يكون إما عازلاً وإنما نصف ناقل.
 - ولكن الشيء الغريب والمفت للانتباه فيما خص الغرافين يمكن في عدم امتلاكه لفجوة طاقية بين العصابة π المشغولة والعصابة π^* الشاغرة.
 - **تصادف** هذه العصباطات في **ركن المضلعل**- **السداسي** تماماً، منطقة بريلوان ثنائية- البعـد، حيث يسمى هذا الركن النقطة K (كاما)، راجع **الشكل (15d-6)**.
 - يوضح الشكلان (15e-6) و (15f-6) كثافة الحالات وكثافة الحالات المشغولة بجوار طاقة فيرمي، E_F ، على الترتيب:
 - ❖ فمن أجل الطاقات القريبة كفاية من E_F ، **يكون التبدد** لكل من العصباطات π و π^* خطياً، وإلى جانب حقيقة أن الغرافين ثنائي- البعـد، نحصل على كثافة حالات تُعد خطيةً **كتابع** للطاقة.



الشكل (15-6): منشأ عصابات الطاقة الإلكترونية من أجل الغرافين. (a) تؤدي المدارات الهجينية sp^2 إلى تشكيل الروابط σ . (b) تؤدي المدارات p_z إلى تشكيل الروابط π . (c) بنية عصابات الطاقة المأخوذة من Nazarov و Kogan (2012) (ليس كل العصابات الطاقية المشغولة موجودة هنا). (d) منطقة بريليون الأولى ثنائية البعد. (e) كثافة الحالات في الجوار المباشر لطاقة فيرمي. (f) كثافة الحالات المشغولة في درجة الصفر المطلق (الساحة الرمادية).

- ❖ تقول هنا كثافة الحالات عند طاقة فيرمي، E_F ، إلى الصفر تماماً، غير أنه لا توجد فجوة طاقية.
- ❖ إذا عرّفنا فلزاً بأنه مادة يقع الكمون الكيميائي (أو طاقة فيرمي) فيها عند طاقةٍ حيث تكون كثافة الحالات محدودةً، فإن الغرافين ليس فلزاً.
- ❖ ومن جهة أخرى، لا يمتلك الغرافين فجوة طاقية (منطقة محظورة) بين الحالات الطاقية الأعلى المشغولة والحالات الطاقية الأدنى الشاغرة، وهو ما يمكن إيجاده في حالة عازلٍ / نصف ناقلٍ.
- ❖ ومن ثم يسمى الغرافين عادةً إما نصف فلزٍ وإما نصف ناقل بفجوة طاقية صفرية.

7- خصائص الناقلية الكهربائية Transport Properties

وأخيراً وصلنا إلى فقرة وصف الناقلية الكهربائية في نموذج ميكانيك الكم، حيث سنفترض المناقشة على نقل الشحنة الكهربائية؛ يجري نقل الحرارة عن طريق الإلكترونات بطريقة مشابهة ولدينا بعض التصور عن علاقة الناقلية الكهربائية والحرارية من خلال قانون ويدمان- فرانس Wiedemann-Franz. إن خصائص النقل الكهربائي للأجسام الصلبة، تُعد مسألة غاية في التعقيد، وهنا سنقدم بعض الأفكار الأساسية فقط مما يحدث فيها. يمكن عرض هذه الأفكار من خلال دراسة جسم صلب أحادي - البعد.

نرى عند التدقيق في موجة بلوخ (6-26) أنها تصف موجة مستوية معدلة تمتد على (تنتشر في) كامل البلورة، بشكل مشابه جداً لحركة إلكترون حر. في الواقع، إدخال الكمون الدوري للأيونات في معادلة شرودنغر لا يؤدي إلى أي تبعثر، ما يُعد نتيجةً غايةً في الأهمية: عند مناقشة أوجه القصور في نموذج درودي تساءلنا، كيف يمكن للإلكترونات أن تمتلك طول مسارٍ حرٍ وسطيٍّ طويلٍ جداً في درجات الحرارة المنخفضة والانسلاخ من بين كل الأيونات في خلافٍ صريحٍ لفرضيات درودي. والجواب يمكن في أن إلكترون بلوخ لا يتبعَر على أيونات الشبكة البلورية على الإطلاق، ومن ثم يجب أن تكون الناقلية الكهربائية للفازات البلورية المثالية ¹.

من الواضح أن الواقع ليس كذلك، إذ لا بد من آلية ما لتبعثر الإلكترونات بلوخ أيضاً. لنفرض ببساطة وجود بعض التبعثر المؤدي لزمن استرخاءٍ، τ ، محدودٍ. نلاحظ أن الحالة مشابهة جداً لانتقال الحرارة في بلورة توافقية: فالفنونات التي تُعد رزماً من موجات توافقية، بمقدورها الانتشار بهدوءٍ من دون مُبعثرات في البلورة علينا أن نتوسل توافر بعض المفاعيل؛ كالعيوب مثلاً، بعرض الحصول على ناقلية حرارية محدودة.

عند دراسة ارتحال إلكترون في بلورة لم تكن موجات بلوخ تُعد تصوراً ملائماً لذلك، لأنها تمتد بالتحديد على كامل الجسم الصلب. ونستخدم التقريب ذاته لوصف جسيم متوضع؛ كما في حالة اهتزازات الشبكة البلورية: ندرس إلكتروناً يرتحل في بلورة؛ كرزمة موجية، أي كتاراكتير لوموجات بلوخ في مجال محدد Δk قریبٍ من k المعنى (في الدراسة)، تمتلك "جسيمة" كهذه سرعة مجموعة، v_g ، تُعطى بالعلاقة (6-47)، وعندما نصل إلى توصيفٍ شبه- تقليديٍّ للناقليات الكهربائية.

لندرس جسيمةً شحنتها $-e$ - تتحرك بسرعة مجموعة v_g في حقل كهربائي، E . بعد فترة قصيرة من الزمن، dt ، تزداد الطاقة الحركية (القوة في الانتقال) للجسيمة بمقدار:

$$dE = (-eE)(v_g dt). \quad (63-6)$$

ومن جهة أخرى،

$$\frac{dE}{dt} = \frac{dE}{dk} \frac{dk}{dt} = (-eE)v_g \equiv (-eE) \frac{1}{\hbar} \frac{dE}{dk}. \quad (64-6)$$

حيث أخذنا بالحساب العلاقة (47-6)، $v_g = dE(k)/\hbar dk$ ، ومن ثم نجد:

$$\hbar \frac{dk}{dt} = -eE. \quad (65-6)$$

وهذه المسألة موثقة ومعقولة تماماً من أجل حالة الإلكترونات الحرة حيث تمثل الكمية $p = \hbar k$ اندفاعاً، ولكن رأينا أن $\hbar k$ ليس اندفاعاً لإلكترونات بلوخ، ومع ذلك تبقى المسألة صحيحة. وهذا يعني أن حقولاً كهربائياً يجعل

¹ فعلياً، هذا ليس صحيحاً تماماً؛ إذ يمكن رصد ما يسمى اهتزازات بلوخ Bloch Oscillations في فلزٍ لا يحدث فيه تبعثر.

إلكترونات بلوخ تُغيّر متجهها الموجي، k ، حيث يُعطى معدّل تغيرها بدلالة شدة الحقل الكهربائي. ويوضح الشكلان (6a,b-16) هذه الحالة من أجل عصابة طاقية ممتنعة جزئياً.

- توزّع الإلكترونات يكون متراوحاً عند عدم تطبيق حقل كهربائي،
- وعند وصله، سُتُّغيّر الإلكترونات عددها الموجي، k ، بمقدار dk بعد فترة وجيزة من الزمن، dt ، ما يجعل توزّعها أقل تنازلاً، كما في الشكل (16b-6).
- وتقترض المعادلة (6-55) أن توزّع الإلكترونات سيُصبح لامتناهياً بصورة متزايدة مع الزمن. ولكن، في حقيقة الأمر، ثمة آلية تبعثر غير مرن ستحث بزمن استرخاء، τ ، تمنع حدوث ذلك. تأتي مثل هذه العملية، التي يوضحها الشكل (16b-6)، بالإلكترونات المتتسارعة القريبة من k_F إلى حالات شاغرة توافق طاقة أدنى، قريبة من $-k_F$.

إن الجمع بين تسارع الإلكترونات تحت تأثير الحقل الكهربائي وتبعرها غير المرن يؤدي إلى حالة مستقرة، تنازح فيها كل الإلكترونات بمقدار بضع δk . وفي معظم الحالات سيكون التغيير δk صغيراً بالمقارنة مع أبعاد منطقة بريليون. فضلاً عن أن التبعثر اللامرن يؤدي إلى تبديد طاريء، ومن ثم إلى مقاومة محدودة.

وتبعاً للعلاقة (47-6)، $v_g = dE(k)/\hbar dk$ ، يوافق التوزّع الامتناظر في k توزّعاً لامتناهياً في شرع المجموعة للإلكترونات أيضاً: طالما أن كامل التوزّع ينزاح بمقدار δk ، فإن معظم الإلكترونات ينتهي بها المطاف في حالات كانت مشغولة بـإلكترونات أخرى من ذي قبل، ومن ثم لا شيء يتغيّر.

▪ النقاط المهمة التي يحدث عنها التغيير هي فقط تلك النقاط الواقعية بجوار طاقة فيرمي، المتقاطعة مع k_F و $-k_F$: إن عدم تنازلاً التوزّع في الشكل (16b-6) يعني وجود إلكترونات بسرعة مجموعة من جهة اليمين أكثر منها من جهة اليسار، أي أنه يحدث جريان لتيار كهربائي. ومن الواضح، أن حجم التيار يتعلق بسرعة المجموعة للإلكترونات عند طاقة فيرمي.

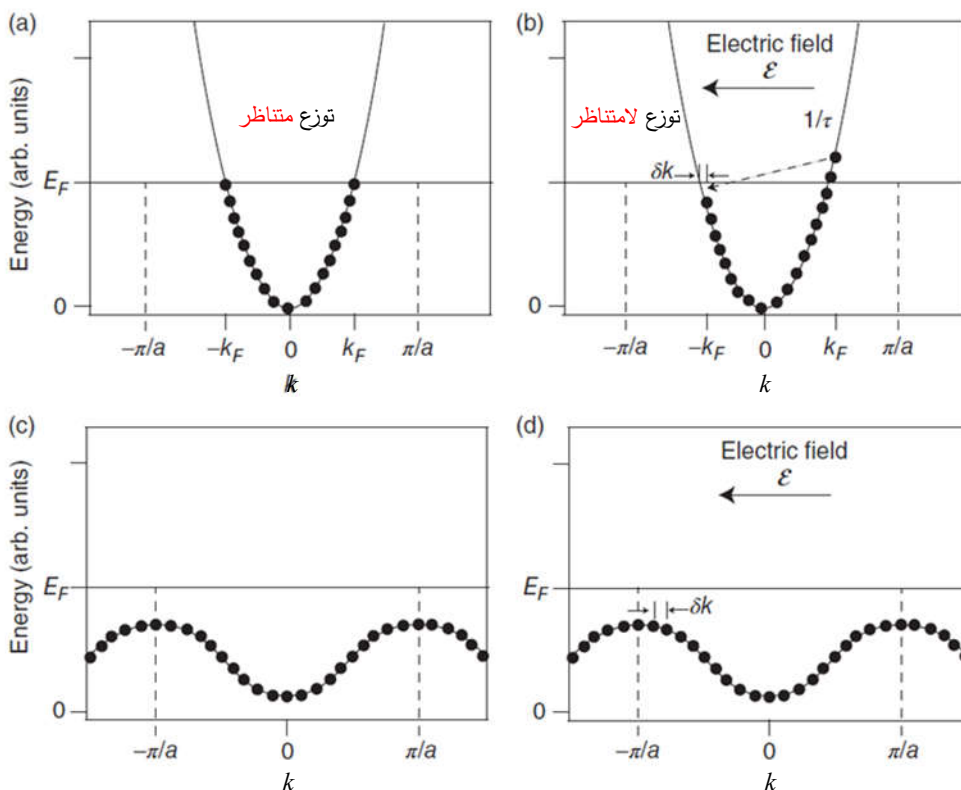
يوضح الشكلان (16c-6) و (16d-6) حالة إلكترونات في عصابة طاقة ممتنعة:

- حالما يُطبّق الحقل الكهربائي، تنازح هذه الإلكترونات بمقدار δk أيضاً، ولكن لا يُغيّر ذلك من الحالة على الإطلاق، لأن كل الإلكترونات تنتقل إلى حالات كانت مشغولةً قبل تطبيق الحقل؛
- فالعصابة الممتنعة لا تُسمّى في الناقليّة. ونلاحظ أن هذا الوضع ينسجم تماماً مع حقيقة أنه يمكن تفسير الكمية $\hbar k$ على أنها اندفاع لإلكترونات بلوخ.

➢ لقد زدنا هنا، من أجل كل الإلكترونات، ولكن من الواضح، أن الاندفاع الوسطي يبقى صفرًا. ويتقدّم هذا التصور أيضاً مع تعريفنا السابق للفلزات والعوازل؛

- فكل عصابات الطاقة في العازل ممتنعة تماماً، ومن ثم لا يمكن للتيار أن يعبر من خالله.
- هناك استثناء عجيب لهذه القاعدة يتمثل بالغرافين. فقد رأينا في الشكل (15-6) أن الغرافين يمتلك أربع عصابات طاقية ممتنعة، ومن المرجح أن نتوقع عدم مساهمتها في الناقليّة، إلا أنه تبيّن تجريبياً أن الغرافين يُعدُ واحداً من أفضل النواقل في درجة حرارة الغرفة، والسبب يكمن في غياب الفجوة الطاقية بين

العصابتين π و π^* ؛ إذ بمقدور الإلكترونات الانتقال مباشرةً من العصابة π إلى العصابة π^* لدى اكتسابها تسارعاً.



الشكل (6-16): شكل بسيط للناقلية في فلز. تمثل الدوائر السوداء للحالات الإلكترونية الممتلئة عند النقاط المسومحة k . (a) حالة من أجل عصابة ممتلئة جزئياً بدون حقل كهربائي. (b) حالة من أجل عصابة ممتلئة جزئياً بوجود حقل كهربائي؛ خلال فترة من الزمن δt تنتقل جميع الإلكترونات بمقدار δk تحت تأثير قوة الحقل الكهربائي المطبق. ومن ثم يُسبب التوزع **اللامتناظر** في سرعة المجموعة الإلكترونية تياراً كهربائياً. بمقدور الإلكترونات عند k_F أن تتبع عكسياً نحو الحالات الأخفض الواقعة عند $-k_F$ باحتمالٍ متناسبٍ مع مقلوب زمن الاسترخاء. (c) و (d) الحالة الموافقة لعصابة ممتلئة تماماً بدون حقل كهربائي وبوجوده. تنتقل الإلكترونات فقط إلى الحالات التي كانت مشغولةً في حالة عدم وجود حقل.

من المفيد جداً الجمع بين العلاقات (6-65) و (6-47)، بالشكل الآتي: لندرس تسارع

الكترون يRTL في البداية بسرعة مجموعة:

$$a = \frac{dv_g}{dt} = \frac{1}{\hbar} \frac{d}{dt} \frac{dE(k)}{dk} = \frac{1}{\hbar} \frac{d^2 E(k)}{dk^2} \frac{dk}{dt}. \quad (66-6)$$

إذا عُوضتا عن dk/dt بقيمتها، من العلاقة (6-65)، $\hbar dk/dt = -eE$ ، في الحد الأخير، نجد أن:

$$a = \frac{1}{\hbar^2} \frac{d^2 E(k)}{dk^2} (-eE). \quad (67-6)$$

ويبدو أن هذه العلاقة تشبه معادلة الحركة التقليدية تماماً، إذا عرفنا الجسيمات المدرستة هنا بأنها جسيمات تمتلك ما يسمى **بالكتلة الفعالة**: Effective Mass

$$m^* = \frac{\hbar^2}{\frac{d^2 E(k)}{dk^2}}. \quad (68-6)$$

يمكن أن يبدو مفهوم الكتلة الفعالة في البداية اصطناعياً نوعاً ما، إلا أنه يسمح لنا بوصف الناقلية بمعادلة حركة تقليدية، كما في نموذج درودي. الفعل الوحيد للجسم الصلب يمكن في أنه يُغيّر الكتلة الفعالة للإلكترونات، ويمكن أن يكون هذا الفعل دراماتيكياً:

إذ يمكن أن تكون الكتلة الفعالة أقل بكثير أو أكبر بكثير من كتلة الإلكترون الحر، ويمكن أن تكون أيضاً سالبة. بالطبع، من أجل الإلكترونات الحرة، تساوي الكتلة الفعالة كتلة الإلكترون، m_e . ومرة أخرى تبدو حالة الغرافين إلى حدٍ ما عجيبةً: فبنية عصابات الطاقة في الشكل (15c-6) تُظهر أن التبدد، $E(k)$ ، خطٌ بجوار طاقة فيرمي. إذا كان الأمر كذلك، فإن $0 = d^2 E(k) / dk^2$ ويؤدي تطبيق التعريف الممثل بالعلاقة (68-6) إلى كتلة فعالة متباينة، التي بدورها يمكن تفترض أن الغرافين يمتلك مقاومةً عاليةً جداً. وفي الحالة المعاكسة سيكون الوضع ملتبساً، ويمكن سبب هذا الإلتباس في التعريف (الشرط) (68-6).

إن مفهوم الكتلة الفعالة يعود بنا إلى علاقة درودي من أجل الناقلية الكهربائية، $(\sigma = ne^2 \tau / m_e)$ ، أي العلاقة (9-5). إذا عالجنا الناقلية في نموذج كمومي، بدءاً من علاقة مشابهة للعلاقة (67-6)، فإن علاقة الناقلية النهائية ستأخذ نفس شكل العلاقة (9-5). لقد رأينا سابقاً أن الإلكترونات في العصابات الممتلئة جزئياً التي يجب دراستها لحساب الناقلية، هي تلك الإلكترونات الواقعة بالقرب من طاقة فيرمي فقط، ولهذا السبب لا بد من:

- ❖ استبدال الكتلة في العلاقة (9-5) شبه- التقليدية بالكتلة الفعالة عند طاقة فيرمي؛
- ❖ وزمن الاسترخاء سيكون زمن استرخاء من الإلكترونات الواقعة بالقرب من طاقة فيرمي،
- ❖ والكثافة الإلكترونية، n ، ستبقى ظاهرةً كما هي، ولكن ليس لأن كل الإلكترونات شهتم في التيار؛ إذ سبب ظهور الكثافة الإلكترونية، n ، في المعادلة، يمكن في أن عدد الإلكترونات عند طاقة فيرمي يتعلق بالكثافة الإلكترونية. وهذا واضح تماماً في نموذج الإلكترون الحر حيث بعد k_F ومن ثم بعد "كرة فيرمي" يتعلق بتركيز الإلكترونات.

لقد رأينا أن موجات بلوخ تنتشر في البلورة الكاملة **من دون أي تبعثر على الأيونات**، خلافاً للإلكترونات في نموذج درودي. ولذلك، يجب الاستمرار بمناقشة منشأ زمن الاسترخاء، τ ، أي من أين يأتي، ولماذا تمتلك الفلزات مقاومة نوعية محددة.

لقد توصلت كل التفسيرات في نهاية المطاف إلى حقيقة أن الشبكة البلورية ليست مثالية؛ فأكثر النواصص أهمية في درجة الحرارة المرتفعة هي اهتزازات الشبكة البلورية التي تُحرِّك التناول الانسحابي المثالى للشبكة البلورية وتُسبِّب تبعثر الإلكترونات بلوخ. وهذا أيضاً يعني أن فرضيتنا الأولى لنقريب بورن - أو تهيير ليست صالحةً، ولذلك يجب أن ندرس تبعثر الإلكترونات على اهتزازات الشبكة البلورية. يسمى التأثير بين إلكترونات بلوخ واهتزازات الشبكة البلورية التأثير الإلكتروني - الفونوني *The Electron-Phonon Interaction*. من المرجح أن تكون هذه العملية مهمةً إذا لم تكن درجة الحرارة منخفضةً جداً بالمقارنة مع درجة حرارة ديباي للجسم الصلب. ولكن حتى في درجات الحرارة المنخفضة جداً تتبعثر الإلكترونات بلوخ بسبب وجود النواصص الأخرى المتبقية في البلورة. تشمل هذه النواصص كل أنواع العيوب؛ من عيوب نقطية، وانخلاعات، وذرارات شائبة، الخ.

ومع ذلك، يمكن أن تزيد الناقلية النوعية في بلورة على درجة عالية من الكمال عند درجة حرارة منخفضة بضعة مراتب (عشرات المرات) ناقليتها النوعية في درجة حرارة الغرفة.



A to Z مكتبة